

## A Parâmetros de Contato

### A.1 Teoria de Contato de Hertz: Modelo Elástico Linear

Há mais de cem anos atrás, Hertz (1882) estudou o crescimento da área de contato como uma função da força normal  $N$  aplicada, baseado num modelo elástico linear. Segundo Xydias et al. [38], Hertz levou a cabo experimentos usando lentes de vidro esféricas contra placas de vidro. Usando os resultados experimentais, concluiu que o raio de contato  $r_c$  é proporcional à força normal aplicada elevada à potência  $\frac{1}{3}$ , ou seja:  $r_c \propto N^{\frac{1}{3}}$ , o que é consistente com os resultados analíticos que derivou baseado no modelo elástico linear.

No caso mais simples,  $K_C$  e  $C_C$  podem ser considerados constantes, e o amortecimento de contato  $C_C$  sempre é expresso como um múltiplo da rigidez de contato:  $C_C = \beta K_C$ . Valores referenciais desses parâmetros para o aço são adotados como  $K_C = 1 \times 10^8 N/m$ , baseado na teoria de contato de Hertz, [44]. Também, o coeficiente de proporcionalidade entre a rigidez e o amortecimento de contato é assumido como  $\beta = 1 \times 10^{-7} s$ .

### A.2 Lei da Potência: Modelo Elástico Não Linear

Este modelo é empregado para incluir materiais não lineares, como o silicone, por exemplo. A relação geral entre o raio de contato  $r_c$  e a força normal  $N$  aplicada é expressada através de [38]:

$$r_c \propto N^{\frac{n}{2n+1}} \quad (\text{A-1})$$

sendo  $n$  um expoente de tensão (*strain-hardening factor*) que depende do material. Em geral  $0 \leq n \leq 1$ , porém, para materiais elásticos lineares  $n = 1$  o que corresponde à teoria de contato de Hertz.

Quando o material da viga é silicone, os parâmetros  $K_C$  e  $C_C$  não podem ser considerados constantes. Um estudo experimental realizado por Hyun-Yong Han et al. [37] revela que a rigidez de contato do silicone satisfaz a seguinte equação:

$$K_C(x) = ax^b \quad (\text{A-2})$$

sendo  $a = 1,037$  e  $b = 0,827$  parâmetros constantes encontrados por Hyun-Yong Han. Na Eq. (A-2) a rigidez está em  $N/mm$  e a penetração  $x$  em milímetros; para as simulações numéricas adota-se essa equação.

## B

### Características e Propriedades do Silicone

Os silicones são polímeros inorgânicos formados por um núcleo de silício e oxigênio (...-Si-O-Si-O-Si-O-...). Pela variação no tamanho dessa cadeia, pode-se manipular as características do material que podem variar desde uma consistência totalmente sólida, até um líquido viscoso. Para determinar o módulo de elasticidade do silicone, foram realizados testes experimentais de tração e de flexão, Fig. B.1. Essas propriedades foram calculadas usando as equações da deformação estática [7], em tração e em flexão, e são mostradas na Tab. 4.4. Além disso, a densidade e o coeficiente

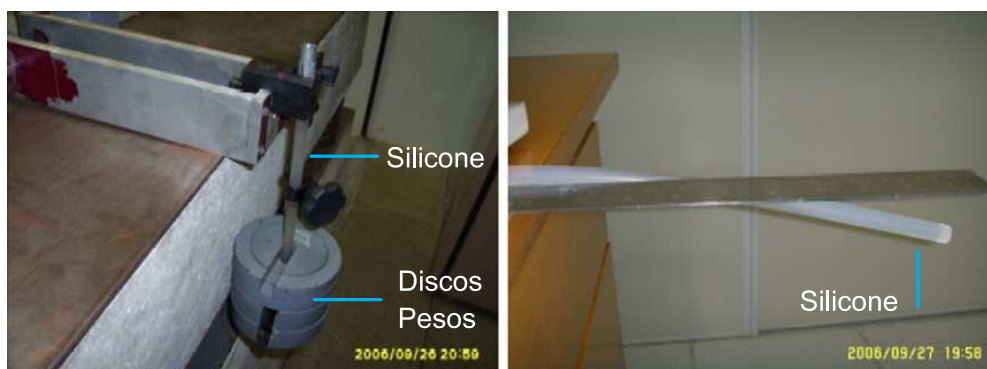


Figura B.1: Provas de tração e flexão estática do silicone.

de atrito também foram calculados experimentalmente e os detalhes são explicados próximos parágrafos. Vale ressaltar que os valores obtidos estão dentro dos limites indicados por outras referências:

- Dow Corning.<sup>1</sup>
- Ides - The Plastic Web.<sup>2</sup>

<sup>1</sup>[www.dowcorning.com/content/rubber/rubberprop/rubber\\_mechanical.asp](http://www.dowcorning.com/content/rubber/rubberprop/rubber_mechanical.asp)

<sup>2</sup>[www.ides.com/generics/Silicone/Silicone.typical\\_properties.htm](http://www.ides.com/generics/Silicone/Silicone.typical_properties.htm)

**B.1****Cálculo das Propriedades do Silicône**

As características do silicone usado para obter as propriedades mecânicas são: comprimento  $0,3m$ , diâmetro  $11 \times 10^{-3}m$  e massa  $m_s = 29 \times 10^{-3}kg$ . O cálculo da densidade é direta e resulta:  $\rho_s = \frac{m_s}{V} = 1017,2kg/m^3$

**B.1.1****Rigidez à Flexão**

A equação da flecha estática  $f(x)$  de uma viga em balanço, com carga uniformemente distribuída  $w_0 = \frac{m_s g}{L} = 0,9483N/m$  está dada através de [7]:

$$f(x) = \frac{w_0 x^2}{24EI} (x^2 + 6L^2 - 4Lx)$$

A flecha máxima da viga resulta  $f(x = L) = \frac{w_0 L^4}{8EI}$ . No teste, com  $L = 0,26m$ , a flecha máxima medida resulta  $0,048m$ , Fig. B.1, com isso:  $EI = 1,13 \times 10^{-2}N$ .

**B.1.2****Rigidez à Tração**

Um teste simples é realizado para obter a rigidez à tração, Fig. B.1, e os dados obtidos são mostrados na Tab. B.1. A deformação estática axial

Tabela B.1: Teste de tração do silicone.

<i>Deslocamento (mm)</i>	1,0	1,8	2,3	3,1	4,0	5,2
<i>Massa (kg)</i>	1,0	2,0	2,5	3,0	4,0	5,0
<i>Peso (N)</i>	9,8	19,6	24,5	29,4	39,2	49,1

$\delta_s$  de uma barra  $L$  devido ao peso  $P$  está dada por:  $\delta_s = \frac{PL}{EA}$ . Logo, usando o gráfico da Fig. B.2, obtém-se  $\frac{EA}{L} = 9810N/m$ . Conseqüentemente a rigidez axial resulta:  $EA = 1,02 \times 10^3 N$

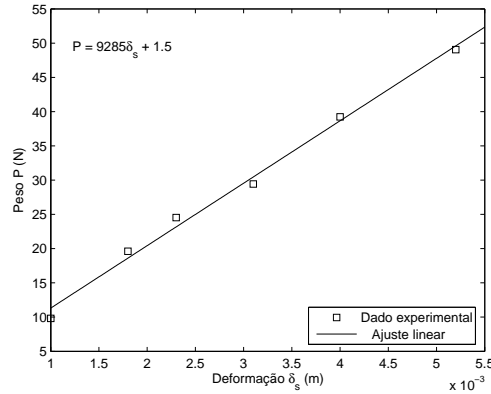


Figura B.2: Teste de tração do silicone.

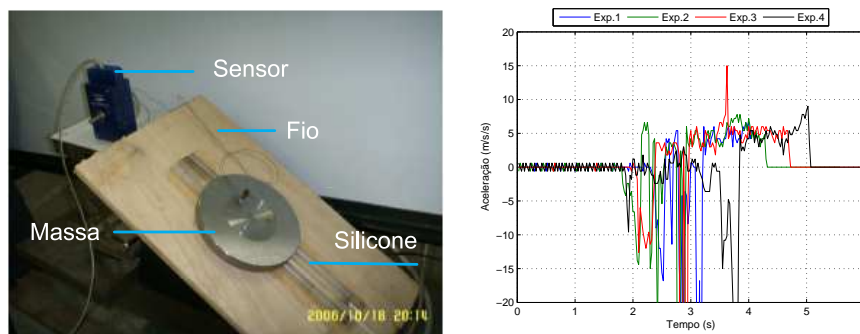


Figura B.3: Provas do plano inclinado.

## B.2 Coeficiente de Atrito

Para obter o coeficiente de atrito estático  $\mu_e$ , entre o silicone e uma superfície de cobre, realiza-se um simples teste, mostrado na Fig. B.3.

O valor do coeficiente de atrito correspondente à situação em que o corpo está na iminência de iniciar o seu movimento. Designa-se por coeficiente de atrito estático e pode ser calculado por:  $\mu_e = \tan \alpha_c$ . O ângulo crítico medido resulta  $\alpha_c \approx 23, 11^\circ$ , com isso:  $\mu_e \approx 0, 426$ .

Para calcular o coeficiente de atrito cinético  $\mu_c$  emprega-se a equação:  $\sin \alpha_0 - \mu_c \cos \alpha_0 = \frac{a}{g}$ . Essa equação resulta das equações do movimento de um corpo que se desliza sobre um plano inclinado que forma um ângulo  $\alpha_0 > \alpha_c$  com a horizontal. A aceleração média  $a$  do disco, Fig. B.3, medida experimentalmente usando um sensor de rotação PASSPORT, resulta  $a \approx 5m/s^2$  quando  $\alpha_0 = 50^\circ$ . Com isso  $\mu_c \approx 0, 388$ . O disco e o sensor de rotação estão unidos através de um fio de massa desprezível, sendo que o sensor mede a aceleração linear do disco no plano inclinado.

## C Estudo da Convergência

Quando se usam elementos finitos, é necessário estabelecer algum critério sobre a convergência dos resultados numéricos para determinar o número de elementos a serem usados na discretização. No modelo da viga em L, por exemplo, foram obtidos os modos de vibração e frequências naturais usando diferentes números de elementos na discretização da viga. Portanto, é possível usar o critério das frequências naturais para saber o número de elementos a usar satisfazendo um erro pré-estabelecido para as frequências. No entanto, quando estudamos resposta no tempo, o critério das frequências naturais não é a mais adequada e neste trabalho adota-se o critério sugerido por Sampaio [62].

Para conseguir uma boa aproximação da resposta dinâmica de um sistema é necessária uma medida de convergência, e uma medida da convergência pode ser obtida através do erro relativo, entre uma discretização grosseira e uma fina [62]. Essas medidas do erro, para deslocamentos e/ou velocidades, são computadas em uma posição definida  $s_d$  e em um instante dado  $t_d$ , ou seja:

$$\begin{aligned} \%erro_{deslocamento} &= 100 \left| \frac{des(s_d, t_d)_{grossa} - des(s_d, t_d)_{fina}}{des(s_d, t_d)_{fina}} \right| \\ \%erro_{velocidade} &= 100 \left| \frac{vel(s_d, t_d)_{grossa} - vel(s_d, t_d)_{fina}}{vel(s_d, t_d)_{fina}} \right| \end{aligned}$$

sendo:  $des = deslocamento$  e  $vel = velocidade$ .

A Fig. C.1 mostra a resposta dinâmica para o nó 29 do silicone (caso **b**)) usando vários elementos.

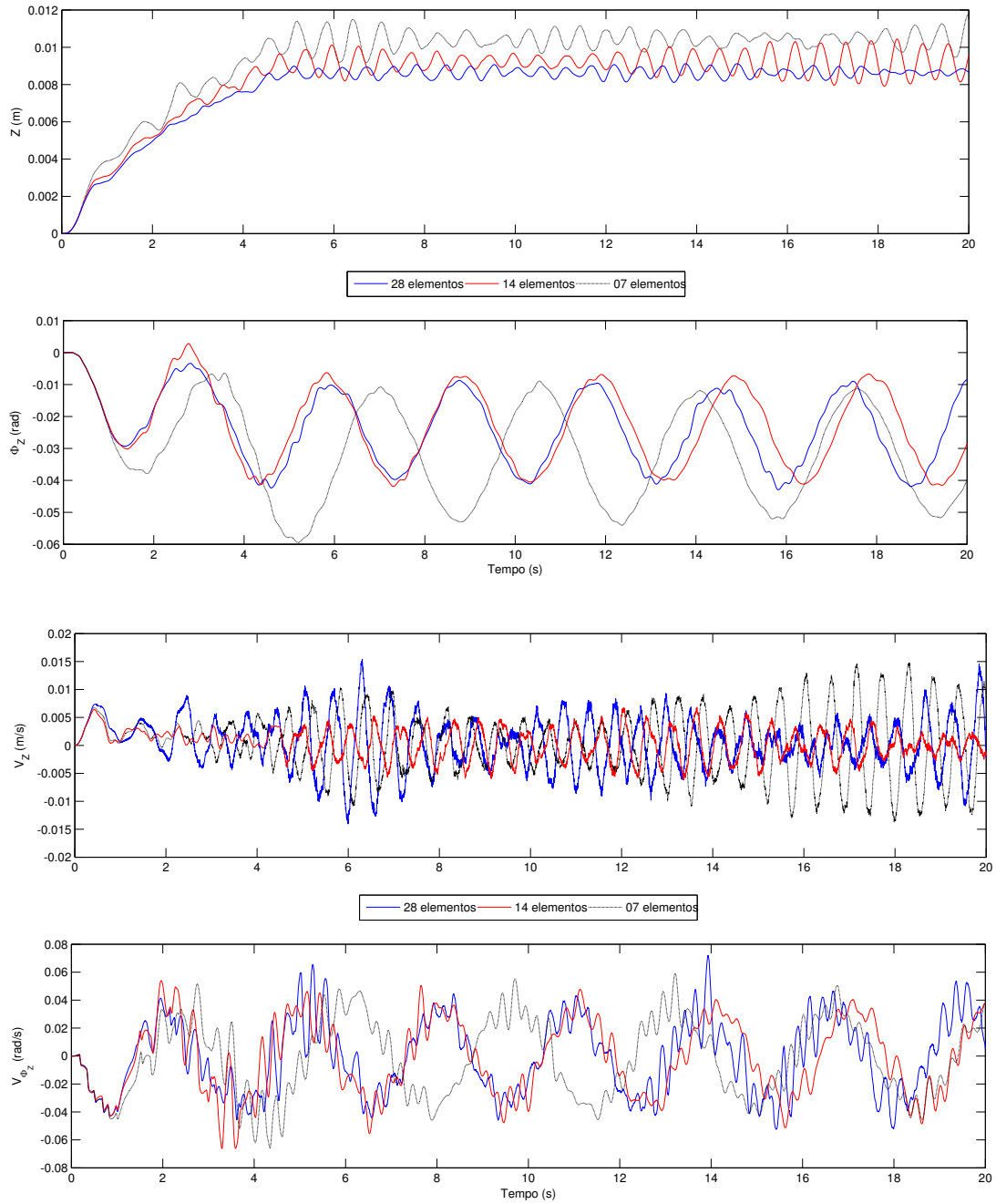


Figura C.1: Resposta dinâmica para vários elementos, caso **b**).

## D Deslocamentos e Velocidades Virtuais

### D.1 Deslocamento virtual

Supondo que uma partícula descansa sobre uma superfície  $F(x, y, z) = 0$  num ponto  $A$ , e somente pode movimentarse sobre essa superfície, Fig. D.1. Se a partícula se desloca até um ponto  $B$ , também na superfície, esse deslocamento é chamado de deslocamento possível, em caso contrário chama-se deslocamento impossível.

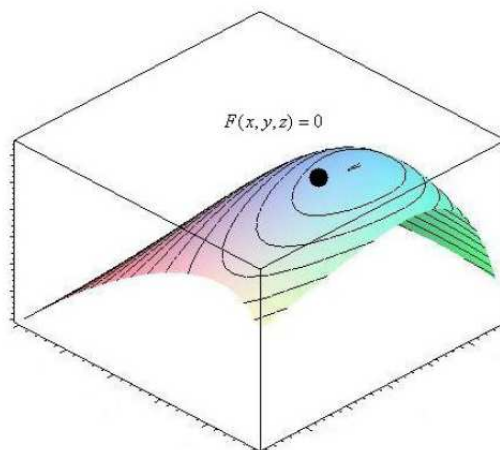


Figura D.1: Movimento de uma partícula sobre uma superfície.

Logo, se a partícula tem uma velocidade  $\mathbf{v}$ , essa velocidade é chamada de velocidade possível se a partícula se movimenta sobre a superfície, em caso contrario chama-se de velocidade impossível. Portanto, as velocidades possíveis são tangentes à superfície no ponto  $A$ .

Finalmente, aqueles deslocamentos que são proporcionais às velocidades possíveis num ponto  $A$ , são chamados de deslocamentos virtuais nesse mesmo ponto. Um deslocamento virtual, portanto, tem direção tangente à superfície, mas com uma orientação e magnitude arbitrária. Da Eq. da superfície  $F(x, y, z) = 0$ , derivando em relação ao tempo:

$$\frac{\partial F}{\partial x} \dot{x} + \frac{\partial F}{\partial y} \dot{y} + \frac{\partial F}{\partial z} \dot{z} = 0 \quad (\text{D-1})$$

e representando a velocidade como  $\mathbf{v} = \begin{bmatrix} \dot{x} & \dot{y} & \dot{z} \end{bmatrix}^T$  e o vetor gradiente como  $\nabla F = \begin{bmatrix} \frac{\partial F}{\partial x} & \frac{\partial F}{\partial y} & \frac{\partial F}{\partial z} \end{bmatrix}^T$ , a Eq. D-1 fica:

$$\mathbf{v}^T \nabla F = 0 \quad (\text{D-2})$$

portanto, a Eq. D-2 indica que a velocidade é perpendicular à normal da superfície ( $\nabla F$ ).

Adotando a notação  $\delta \mathbf{s}$  para representar um deslocamento arbitrário do ponto  $A$ , e  $\delta \mathbf{s} = \begin{bmatrix} \delta x & \delta y & \delta z \end{bmatrix}^T$  as projeções desse deslocamento sobre os eixos coordenados, o deslocamento virtual, segundo a definição, é proporcional à possível velocidade  $\mathbf{v}$ . Portanto,  $\delta \mathbf{s} = \mathbf{v}$  será um deslocamento virtual. Finalmente, as projeções do deslocamento virtual satisfazem a seguinte equação:

$$\delta \mathbf{s}^T \nabla F = \frac{\partial F}{\partial x} \delta x + \frac{\partial F}{\partial y} \delta y + \frac{\partial F}{\partial z} \delta z = 0 \quad (\text{D-3})$$

## D.2 Velocidade virtual

São velocidades possíveis exatamente na direção em que o movimento do partícula material pode acontecer, ou seja, respeitando as equações de vínculo, i.e. pode-se movimentar somente sobre a superfície prescrita por  $F(x, y, z) = 0$ . A essas velocidades virtuais representamos como  $\delta \dot{\mathbf{s}} = \begin{bmatrix} \delta \dot{x} & \delta \dot{y} & \delta \dot{z} \end{bmatrix}^T$  e também satisfazem a Eq. D-3:

$$\delta \dot{\mathbf{s}}^T \nabla F = \frac{\partial F}{\partial x} \delta \dot{x} + \frac{\partial F}{\partial y} \delta \dot{y} + \frac{\partial F}{\partial z} \delta \dot{z} = 0 \quad (\text{D-4})$$

## **Bibliografia**

- [1] BANACH, S.. **Mechanics**. Warszawa - Wroclaw, 1951.
- [2] NEWMARK, N. M.. **A method of computation for structural dynamics**. Journal of Engineering Mechanics Division, ASCE, 85:67–94, 1959.
- [3] CUNNINGHAM, R. A.. **Analysis of downhole measurements of drill string forces and motions**. Journal of Engineering for Industry, Trans. ASME, p. 208–216, May 1968.
- [4] DAREING, D. W.; LIVESAY, B. J.. **Longitudinal and angular drill-string vibrations with damping**. Journal Of Engineering For Industry, p. 671–679, 1968.
- [5] MEIROVITCH, L.. **Methods of Analytical Dynamics**. McGraw-Hill, 1970.
- [6] FONSECA, A.. **Curso de Mecânica - Dinâmica**. Livros Técnicos e Científicos, 1972.
- [7] CRANDALL, S. H.; DAHL, N. C. ; LARDNER, T. J.. **An Introduction to the Mechanics of Solids**. McGraw-Hill, 1978.
- [8] CHEUNG, Y. K.; YEO, M. F.. **A Practical Introduction to Finite Element Analysis**. PITMAN, 1979.
- [9] BATHE, K. J.. **Finite Element Procedures in Engineering Analysis**. Prentice-Hall, 1982.
- [10] NAYFEH, A. H.. **Problems in Perturbation**. Wiley-Interscience, 1985.
- [11] LALANNE, L.. **Rotordynamics**. Chapman and Hall, 1985.
- [12] SMITH, G. D.. **Numerical Solution Of Partial Differential Equations: Finite Difference Method**. Oxford University Press, 1985.

- [13] WOLF, S. F.; ZACKSENHOUSE, M. ; ARIAN, A.. **Field measurements of downhole drillstring vibration**. Drill Conference Paper IADC/SPE 14330, Las Vegas, 1985.
- [14] SIMO, J. C.. **A finite strain beam formulation. the three-dimensional dynamic problem. part i**. Computer Methods in Applied Mechanics and Engineering, 49:55–70, 1985.
- [15] SIMO, J. C.; VU-QUOC, L.. **A three-dimensional finite-strain model. part ii: Computational aspects**. Computer Methods in Applied Mechanics and Engineering, 58:79–116, 1986.
- [16] BRUEL-KJAER. **Structural testing part 2: Modal analysis and simulation**. <http://www.bksv.nl/?ID=3618>, 1988.
- [17] SIMO, J. C.; VU-QUOC, L.. **On the dynamics in space of rods undergoing large motions - a geometrically exact approach**. Computer Methods in Applied Mechanics and Engineering, 66:125–161, 1988.
- [18] JANSEN, J. D.. **Whirl and chaotic motion of stabilized drill collars**. Society Of Petroleum Engineers, SPE 20930:435–448, 1992.
- [19] JEI, Y. G.; LEE, C. W.. **Does curve veering occur in the eigenvalue problem of rotors?** Journal of Vibrations and Acustics, Trans. ASME, 114:32–36, January 1992.
- [20] JANSEN, J. D.. **Nonlinear Dynamics of Oilwell Drillstrings**. PhD thesis, Delft University of Technology, 1993.
- [21] DUNAYEVSKY, V. A.; ABBASSIAN, F. ; JUDZIS, A.. **Dynamic stability of drillstrings under fluctuating weight on bit**. SPE Drilling and Completion, p. 84–92, June 1993.
- [22] CRISFIELD, M. A.; SHI, J.. **A co-rotational element/time-integration strategy for non-linear dynamics**. International Journal for numerical Methods in Engineering, 37:1897–1913, 1994.
- [23] ANTMAN, S. S.. **Nonlinear Problems of Elasticity**. Springer-Verlag, 1995.
- [24] STEINDL, A.; TROGER, H.. **Nonlinear three-dimensional oscillations of elastically constrained fluid conveying viscoelastic tubes with perfect and broken  $o(2)$ -symmetry**. Nonlinear Dynamics, 7(2):165–193, 1995.

- [25] DYKSTRA, M. W.. **Nonlinear Drillstring Dynamics**. PhD thesis, The University of Tulsa, Oklahoma, 1996.
- [26] YIGIT, A. S.; CHRISTOFOROU, A. P.. **Coupled axial and transverse vibrations of oilwell drillstrings**,. *Journal of Sound and Vibration*, 195(4):617–627, 1996.
- [27] INMAN, D. J.. **Engineering Vibration**. Prentice-Hall Inc., 1996.
- [28] RUBIN, M. B.. **An intrinsic formulation for nonlinear elastic rods**. *Int. J. Solids Structures*, 34:4191–4212, 1997.
- [29] PAZ, M.. **Structural Dynamics**. Chapman and Hall, 1997.
- [30] KHULIEF, Y. A.; MOHIUDDIN, M. A.. **On the dynamic analysis of rotors using modal reduction**. *Finite Elements in Analysis and Design*, 26:41–55, 1997.
- [31] TUCKER, R. W.; WANG, C.. **The excitation and control of torsional slip-stick in the presence of axial vibration**. Lancsos University, 1997.
- [32] DUNAYEVSKY, V. A.; ABBASSIAN, F.. **Application of stability approach to torsional and lateral bit dynamics**. *SPE Drilling and Completion*, p. 99–107, June 1998.
- [33] YIGIT, A. S.; CHRISTOFOROU, A. P.. **Coupled torsional and bending vibrations of drillstrings subject to impact with friction**. *Journal of Sound and Vibration*, 215(1):167–181, 1998.
- [34] SHABANA, A. A.. **Dynamics of Multibody Systems**. Cambridge University Press, 1998.
- [35] LIEBICH, R.. **Rub induced non-linear vibrations considering the thermo-elastic effect**. 5th International Conference on Rotor Dynamics of the IFTOMM, Darmstadt, p. 802–815, 1998.
- [36] TUCKER, R. W.; WANG, C.. **An integrated model for drill-string dynamics**. *Journal of Sound and Vibration*, (224):123–165, 1999.
- [37] HYUN-YONG HAN, S. K.. **Analysis of stiffness of human fingertip and comparison with artificial fingers**. IEEE, 0-7803-5731, 1999.
- [38] XYDAS, N.; KAO, I.. **Modeling of contact mechanics and friction limit surfaces for soft fingers in robotics, with experimental**

- results.** The International Journal of Robotics Research, 18(9):941–950, 1999.
- [39] LEINE, R. I.. **Bifurcations in Discontinuous Mechanical Systems of Filippov-Type.** PhD thesis, Eindhoven University of Technology, The Netherlands, 2000.
- [40] YIGIT, A. S.; CHRISTOFOROU, A. P.. **Coupled torsional and bending vibrations of actively controled drillstrings.** Journal of Sound and Vibration, 234(1):67–83, 2000.
- [41] RAJALINGHAM, C.; RAKHEJA, S.. **Analysis of impact force variation during collision of two bodies using a single dof system.** Journal of Sound and Vibration, 229(4):823–835, 2000.
- [42] WOLGEMUTH, C. W.; POWERS, T. R. ; GOLDSTEIN, R. E.. **Twirling and whirling: Viscous dynamics of rotating elastic filaments.** Physical Review Letters, 84(7):1623–1626, 2000.
- [43] YIGIT, A. S.; CHRISTOFOROU, A. P.. **Active control of stick-slip vibrations: The role of fully coupled dynamics.** Society Of Petroleum Engineers, SPE 68093(1):167–181, 2001.
- [44] ZAPOMEL, J.; FOX, C. H. J. ; MALENOVSKY, E.. **Numerical investigation of a rotor system with disc-housing impact.** Journal of Sound and Vibration, 243(2):215–240, 2001.
- [45] GÉRADIN, M.; CARDONA, A.. **Flexible Multibody Dynamics.** John Wiley and Sons, 2001.
- [46] PAI, D. K.. **Strands: Interactive simulation of thin solids using cosserat models.** Eurographics, 21(3), 2002.
- [47] POLAK, M. A.; LASHEEN, A.. **Mechanical modelling for pipes in horizontal directional drilling.** Tunnelling and Underground Space Technology, 16(Supp. 1):S47–S55, 2002.
- [48] BAZOUNE, A.; KHULIEF, Y. A. ; STEPHEN, N. G.. **Shape functions of three-dimensional timoshenko beam.** Journal of Sound and Vibration, 259(2):473–480, 2003.
- [49] ALAMO, F. C.. **Dinâmica de um rotor vertical em balanço com impacto.** Master's thesis, PUC-Rio, 2003.

- [50] HAIR, J. D.. **Analysis of theoretical vs actual hdd pulling loads**. ASCE, Pipelines 2003, Conference, 2003.
- [51] WEBER, H. I.. **Rotações elementares, quaternions e soluções do problema inverso**. II Congresso Temático de Dinâmica, Controle e Aplicações - Dincon 2003, S. J. dos Campos, SP-Brasil, 2003.
- [52] LIU, D.; CAO, D. Q. ; WANG, C.. **Computational cosserat dynamics in mems components modeling**. Computational Mechanics, 2004. WCCM and APCOM'04, China.
- [53] MADDOCKS, J. H.. **Mathematical Modelling of DNA**. École Polytechnique Fédérale de Lausanne, Switzerland, 2004.
- [54] CHEN, S.. **Linear and Nonlinear Dynamics of Drillstrings**. PhD thesis, Université de Liège, Belgium, 2004.
- [55] FRANCA, L. F. P.. **Perfuração Percussiva-Rotativa Auto-Excitada Em Rochas Duras**. PhD thesis, PUC-Rio, 2004.
- [56] BENECKE, S.; VAN VUUREN, J. H.. **Modelling torsion in an elastic cable in space**. Applied Mathematical Modelling, 29:117–136, 2005.
- [57] ALAMO, F.; WEBER, H. I.. **Displacement functions for rods**. XXVI CILAMCE, Guarapari, ES-Brasil, Proceedings in CD, 2005.
- [58] KHULIEF, Y. A.; AL-NASER, H.. **Finite element dynamic analysis of drillstrings**. Finite Elements in Analysis and Design, 41:1270–1288, 2005.
- [59] RITTO, T. G.. **Análise de vibrações de sistemas lineares e não-lineares no contexto da formulação fraca, análise modal e decomposição de karhunen-loève**. Master's thesis, PUC-Rio, 2005.
- [60] ALAMO, F. C.; WEBER, H. I.. **Stick-slip analysis in drill strings**. XVIII COBEM 2005, Ouro Preto, MG-Brasil, Proceedings in CD, 2005.
- [61] KE, C. H.; PUGNO, N.; PENG, B. ; ESPINOSA, H. D.. **Experiments and modeling of carbon nanotube-based nems devices**. Journal of the Mechanics and Physics of Solids, 53:1314–1333, 2005.
- [62] SAMPAIO, R.; PIOVAN, M. T. ; LOZANO, G. V.. **Stick-slip patterns in coupled extensional/torsional vibrations of drill-strings**. MECOM 2005, VIII Congreso Argentino de Mecánica Computacional, XXIV, 2005.

- [63] SCHÖMER, E.. **Interactive simulation of one-dimensional flexible parts**. ACM Solid and Physical Modeling Symposium, Wales, UK, 2006.
- [64] CARAPAU, F.; SEQUEIRA, A.. **1d models for blood flow in small vessels using the cosserat theory**. WSEAS Transactions on Mathematics, 5(1):54–62, 2006.
- [65] WEBER, H. I.. **Raciocinando Dinâmica de Rotação: Fundamentos para o seu entendimento**. Livro em elaboração, PUC-Rio, 2006.
- [66] CAO, D.; LIU, D. ; WANG, C. H.-T.. **Three-dimensional nonlinear dynamics of slender structures: Cosserat rod element approach**. International Journal of Solids and Structures, 43:760–783, 2006.
- [67] BACHSCHMID, N.; PENNACCI, P.. **Advances in Vibration Control and Diagnostics - VICONDA**. Polimetrica, 2006.
- [68] ALAMO, F.; WEBER, H. I. ; ESPINOZA, H. S.. **Directional drillstring dynamics**. European Conference on Computational Mechanics, Lisbon, p. 1–21, 2006.